

(財)鉄道総合技術研究所 正会員 ○木幡行宏・蒋 関魯
千葉工業大学 石塚友常

1. まえがき：

車走行時の繰返し荷重でバラストが摩耗したり、側方への移動などにより沈下が生じる。ある基準値以上の沈下が生じると道床更換を行うが、その際に発生するバラストは、産業廃棄物扱いとなり膨大な処理費がかかる。近年、保守費の軽減や資源の有効利用の観点から、発生バラストを再利用する状況になりつつある。通常、発生バラストは細粒化が進んでいるため、バラストの粒度分布基準を満たさずそのままでは再利用できない。したがって、現状ではふるい分けで基準内の粒度に調整した後、再利用することになるが、その変形・強度特性については十分に検討されていない。本報告では、実線の種々の位置から採取した発生バラストに対して大型繰返し三軸試験を実施し、発生バラストの変形・強度特性を検討する。

2. 実験：

試験に用いた道床バラストは安山岩であり、図1に示すような位置から採取した3種類のバラスト（上面U： $\rho_d=1.79\text{g/cm}^3$, $U_c=1.58$, $D_{50}=34\text{mm}$, 摩耗により白色化していた摩耗W： $\rho_d=1.78\text{g/cm}^3$, $U_c=1.48$, $D_{50}=35.6\text{mm}$, 細粒分が混入している細粒分混入A： $\rho_d=1.94\text{g/cm}^3$, $U_c=3.61$, $D_{50}=49.3\text{mm}$ ）と同じ石質の新品バラスト（新品N： $\rho_d=1.64\text{g/cm}^3$, $U_c=1.58$, $D_{50}=40.2\text{mm}$ ）の4種類である。供試体は、高さ60cm、直径30cmの円柱形で、気乾状態の試料を5層に分け、各層毎に一定のエネルギーで締固めて作製した。実験は、図2に示す大型三軸試験装置を用いて、等方応力状態で19.6kPaの拘束圧まで負圧により載荷した後、正弦波で載荷周波数を1Hz、両振幅差応力を73.5kPaとして、4万回の繰返し載荷を実施した。繰返し試験後に、同一供試体でひずみ速度0.01%/minにて単調載荷試験を行った。

3. 実験結果と考察：

図3は、繰返し三軸試験前と試験後の粒径加積曲線である。細粒分混入A試料は、破碎したバラストや土粒子が多く分布している道床底面付近より採取したために細粒分が他の試料に比べて多い。三軸試験前後の粒度分布を比べると、すべての試料で変化が見られず、本報告の載荷条件範囲内では試験によってバラスト粒子は破碎しないことが分かる。図4に、繰返し載荷試験後に実施した単調載荷三軸圧縮試験の軸差応力 q ・軸ひずみ ϵ_a 関係を示す。ピーク強度は、細粒分混入A>上面U>新品N=摩耗Wの順に大きい。また、細粒分混入A、上面Uはピーク後に q が減少傾向を示すのに対して、新品N、摩耗Wはピークに至るまで q が単調増加傾向にある。これは締固め効果と粒子形状の違いによるものと考えられる^{1~3)}。図5は繰返し載荷中の一つのループにおける最大軸差応力での軸ひずみ(ϵ_a)_{max}および最小軸差応力での軸ひずみ(ϵ_a)_{min}と載荷回数の関係である。すべての試料で載荷初期に軸ひずみが大きく発生しているが、1000回以降に注目すると、軸ひずみの発生量は摩耗W、新品N、上面U、細粒分混入Aの順に大きい。また、

Keyword: 変形特性、繰返し荷重、礫、変形係数、三軸試験

〒185-8540 東京都国分寺市光町2-8-38

TEL: 042-573-7261

FAX: 042-573-7248

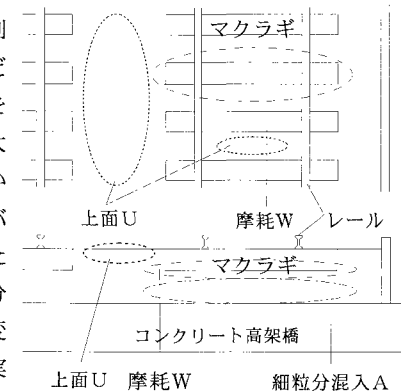


図1 バラスト採取位置の概略図

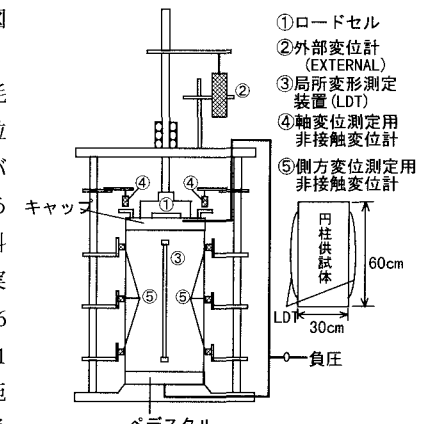


図2 大型三軸試験装置の概略図

軸ひずみ振幅を表す $(\epsilon_a)_{max}$ と $(\epsilon_a)_{min}$ の差は、細粒分混入Aが最も小さい。図6は、繰返し載荷試験における等価ヤング率 E_{eq} と載荷回数の関係である。締固め密度が大きい

細粒分混入Aの E_{eq} が最も大きい。また、すべての試料において載荷初期の E_{eq} の増加率が大きく、その後は漸増傾向にある。図7に、繰

返し載荷試験における等価ボアソン比 ν_{eq} と載荷回数の関係を示す。上面U、摩耗Wは載荷初期の数回にボアソン比が大きく減少するが、新品Nは載荷初期にほぼ一定の値を示した後、100回程度まで減少傾向にあり、その後再び一定の値を示す。このことから、新品Nは他の試料に比べて載荷初期から安定した構造にあり、摩耗Wは不安定な構造で側方向にバラスト粒子が移動しやすい傾向にあると言える。

4.まとめ: 実線における種々の位置から採取した発生バラストの変形・強度特性を検討した結果、以下の知見が得られた。
① 細粒分が混入しているバラストの等価ヤング率および強度が最も大きくなつたが、これは、細粒分混入バラストの締固め密度が他の試料に比べ大きいことと、均等係数が大きいことによると考えられる。
② 繰返し載荷による沈下量は、まくらぎ周辺で白色化した摩耗バラスト、新品バラスト、道床上面から採取したバラスト、細粒分混入バラストの順に大きいが、再利用の観点から見ると、新品バラストの性質に近く基準内の粒度分布を示す上面バラストが再利用可能である。
③ 細粒分混入バラストは、最も沈下量が少なく剛性が高いが、剛性が高すぎると保守機械による突きめが困難になることや細粒分が多いと噴泥の原因となるため、そのままでは再利用に適さないと思われる。

参考文献: 1) 蒋・木幡・閔根・宮本・長戸・鈴木:道床バラストの変形・強度特性に及ぼす繰返し載荷の影響、第32回地盤工学研究発表会講演集、pp.647-648、1997。2) 木幡・蒋・閔根・宮本・長戸・鈴木:道床バラストの繰返し載荷中の変形特性について、第32回地盤工学研究発表会講演集、pp.649-650、1997。3) 木幡・蒋・須長・閔根・宮本・長戸・鈴木:大型三軸圧縮試験による種々の道床バラストの強度・変形特性、第32回地盤工学研究発表会講演集、pp.651-652、1997。

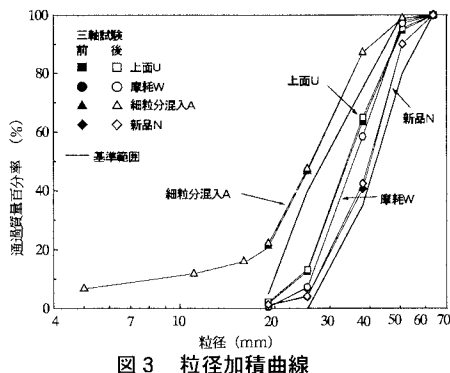


図3 粒径加積曲線

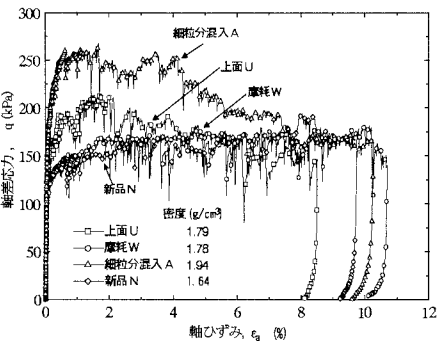
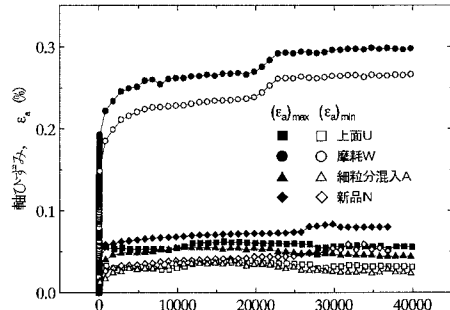
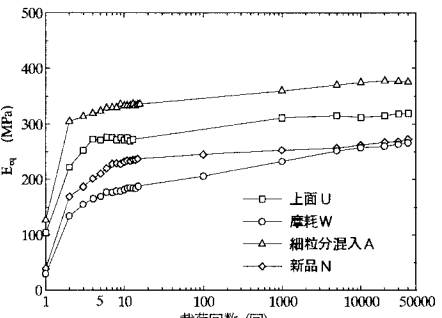
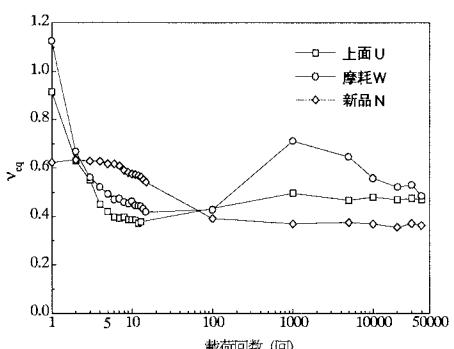
図4 繰返し載荷試験後に実施した三軸圧縮試験の q ～ ϵ_a 関係

図5 繰返し載荷中の軸ひずみ～載荷回数関係

図6 等価ヤング率 E_{eq} ～載荷回数関係図7 等価ボアソン比 ν_{eq} ～載荷回数関係